

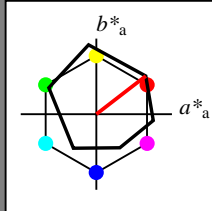
Eingabe: Farbmétrisches Offset-Reflektiv-System ORS18

für Buntton $h^* = lab^*h = 38/360 = 0.105$ lab^*tch und lab^*nch

D65: Buntton O

LCH*Ma: 48 83 38

olv*Ma: 1.0 0.0 0.0



ORS18; adaptierte CIELAB-Daten

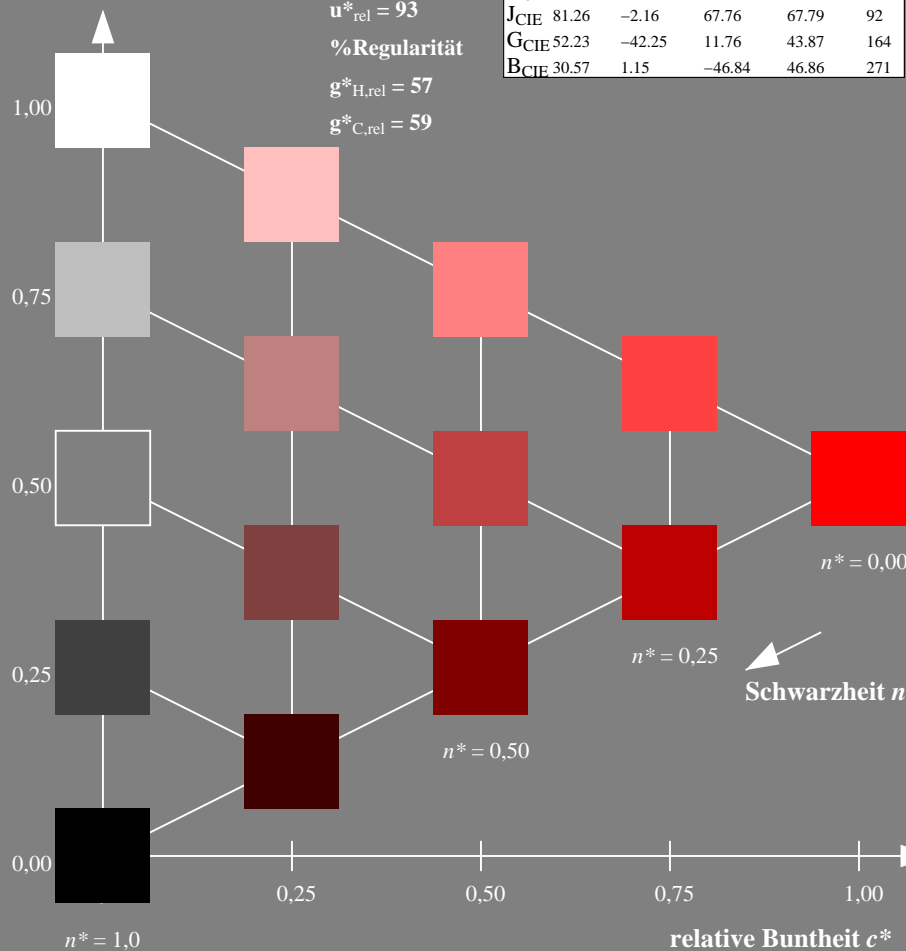
	$L^*=L^*_a$	a^*_a	b^*_a	$C^*_{ab,a}$	$h^*_{ab,a}$
O _m	47.94	65.39	50.52	82.63	38
Y _m	90.37	-10.26	91.75	92.32	96
L _m	50.9	-62.83	34.96	71.91	151
C _m	58.62	-30.34	-45.01	54.3	236
V _m	25.72	31.1	-44.4	54.22	305
M _m	48.13	75.28	-8.36	75.74	354
N _m	18.01	0.0	0.0	0.0	0
W _m	95.41	0.0	0.0	0.0	0
R _{CIE}	39.92	58.66	26.98	64.57	25
J _{CIE}	81.26	-2.16	67.76	67.79	92
G _{CIE}	52.23	-42.25	11.76	43.87	164
B _{CIE}	30.57	1.15	-46.84	46.86	271

Dreiecks-Helligkeit t^*

%Umfang

 $u^*_{rel} = 93$

%Regularität

 $g^*_{H,rel} = 57$ $g^*_{C,rel} = 59$ 

NG220-7, 5 stufige Reihen für konstanten CIELAB Buntton 38/360 = 0.105 (links)

BAM-Prüfvorlage NG22; Farbmétrik-Systeme ORS18 & ORS18input: olv* setrgbcolor

D65: Koordinatensysteme; 5stufige Farbreihen für 10 Bunttöne output: Startup (S) data dependend

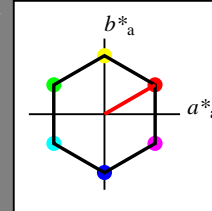
Ausgabe: Farbmétrisches Standard-Reflektiv-System SRS18

für Buntton $h^* = lab^*h = 30/360 = 0.083$ LAB^*LCH , LAB^*NCH

D65: Buntton O

LCH*Ma: 57 77 30

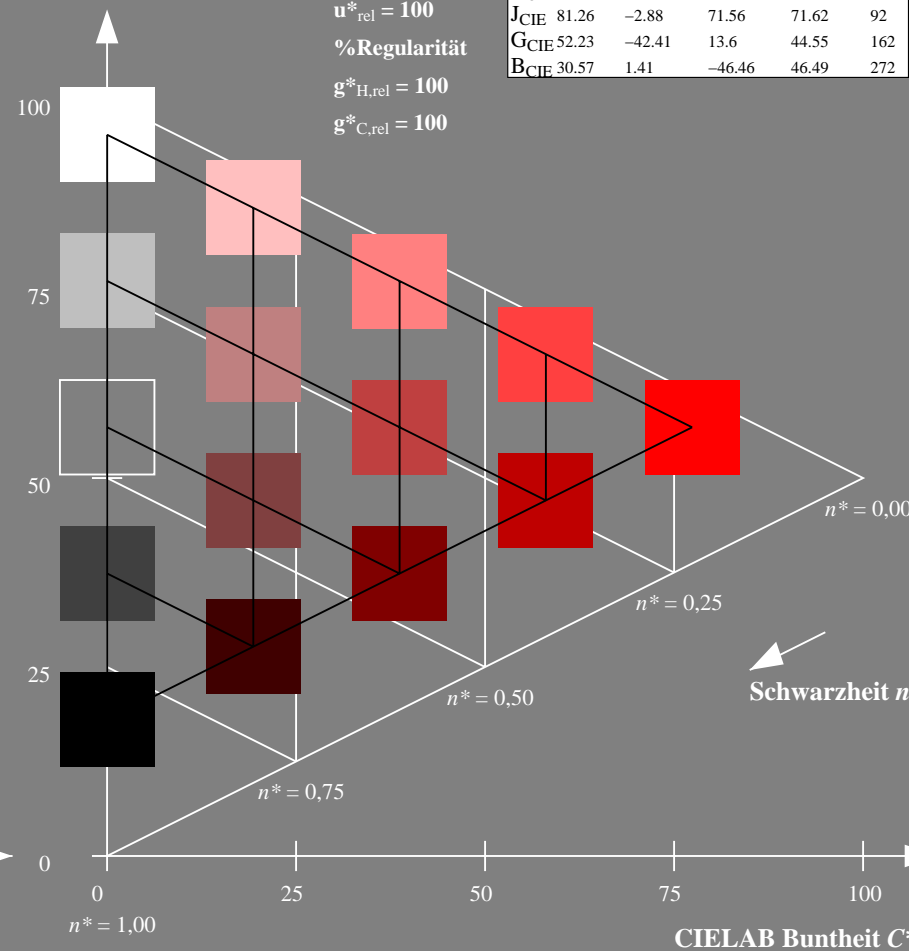
olv*Ma: 1.0 0.0 0.0

CIELAB-Helligkeit L^*

%Umfang

 $u^*_{rel} = 100$

%Regularität

 $g^*_{H,rel} = 100$ $g^*_{C,rel} = 100$ 

5 stufige Reihen für konstanten CIELAB Buntton 30/360 = 0.083 (rechts)

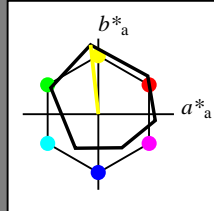
Eingabe: Farbmétrisches Offset-Reflektiv-System ORS18

für Buntton $h^* = lab^*h = 96/360 = 0.268$ lab^*tch und lab^*nch

D65: Buntton Y

LCH*Ma: 90 92 96

olv*Ma: 1.0 1.0 0.0



ORS18; adaptierte CIELAB-Daten

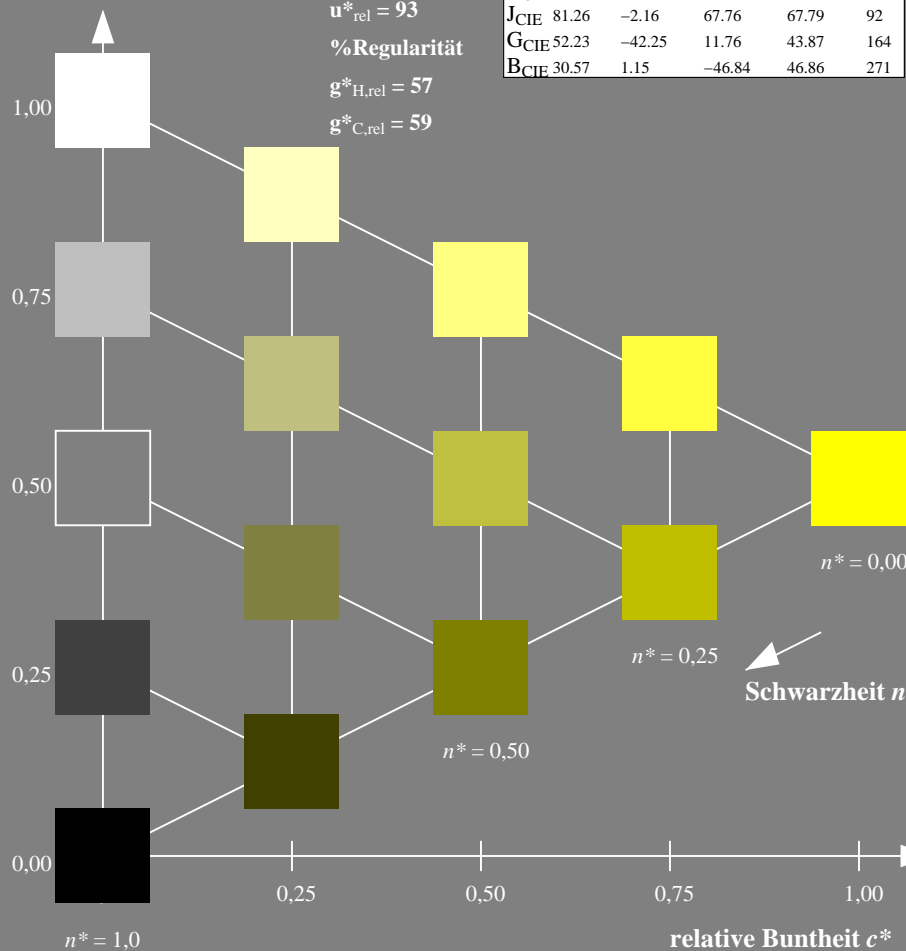
	$L^*=L^*_a$	a^*_a	b^*_a	$C^*_{ab,a}$	$h^*_{ab,a}$
O _m	47.94	65.39	50.52	82.63	38
Y _m	90.37	-10.26	91.75	92.32	96
L _m	50.9	-62.83	34.96	71.91	151
C _m	58.62	-30.34	-45.01	54.3	236
V _m	25.72	31.1	-44.4	54.22	305
M _m	48.13	75.28	-8.36	75.74	354
N _m	18.01	0.0	0.0	0.0	0
W _m	95.41	0.0	0.0	0.0	0
R _{CIE}	39.92	58.66	26.98	64.57	25
J _{CIE}	81.26	-2.16	67.76	67.79	92
G _{CIE}	52.23	-42.25	11.76	43.87	164
B _{CIE}	30.57	1.15	-46.84	46.86	271

Dreiecks-Helligkeit t^*

%Umfang

 $u^*_{rel} = 93$

%Regularität

 $g^*_{H,rel} = 57$ $g^*_{C,rel} = 59$ 

NG220-7, 5 stufige Reihen für konstanten CIELAB Buntton 96/360 = 0.268 (links)

BAM-Prüfvorlage NG22; Farbmétrik-Systeme ORS18 & ORS18input: olv* setrgbcolor

D65: Koordinatensysteme; 5stufige Farbreihen für 10 Bunttöne output: Startup (S) data dependend

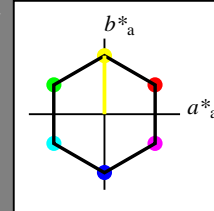
Ausgabe: Farbmétrisches Standard-Reflektiv-System SRS18

für Buntton $h^* = lab^*h = 90/360 = 0.25$ LAB^*LCH, LAB^*NCH

D65: Buntton Y

LCH*Ma: 57 77 90

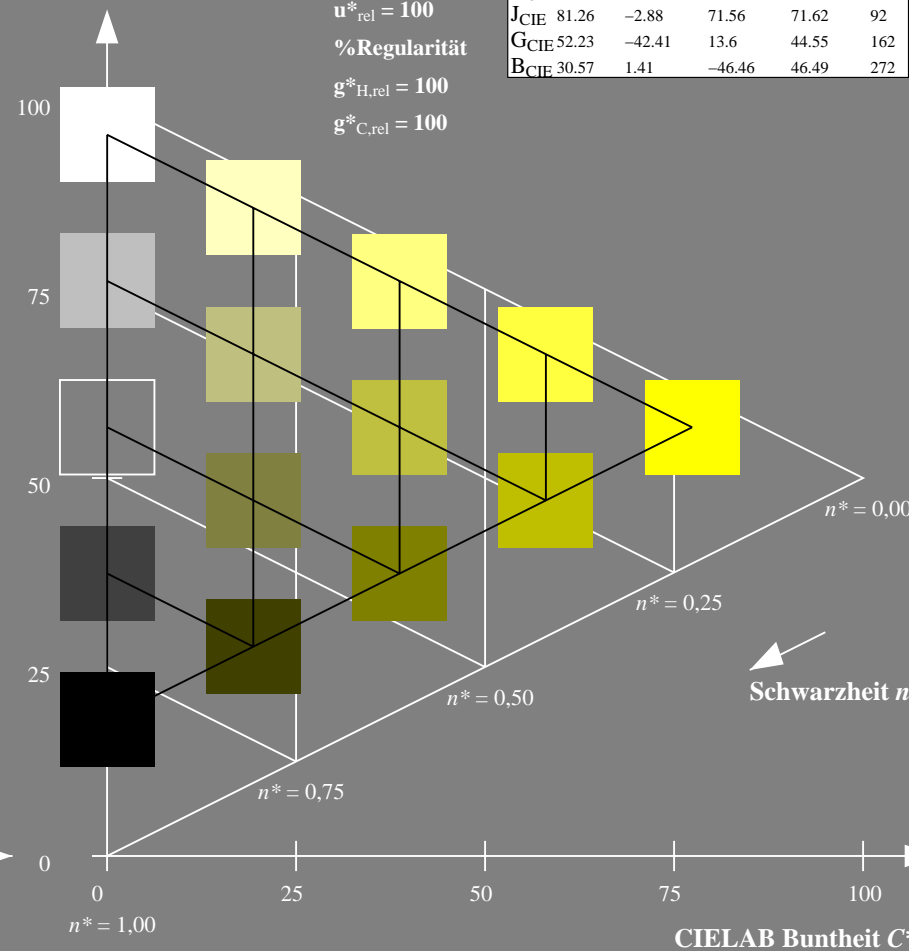
olv*Ma: 1.0 1.0 0.0

CIELAB-Helligkeit L^*

%Umfang

 $u^*_{rel} = 100$

%Regularität

 $g^*_{H,rel} = 100$ $g^*_{C,rel} = 100$ 

5 stufige Reihen für konstanten CIELAB Buntton 90/360 = 0.25 (rechts)

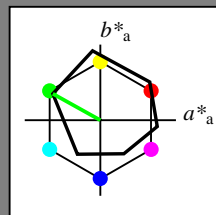
Eingabe: Farbmétrisches Offset-Reflektiv-System ORS18

für Buntton $h^* = lab^*h = 151/360 = 0.419$ lab^*tch und lab^*nch

D65: Buntton L

LCH*Ma: 51 72 151

olv*Ma: 0.0 1.0 0.0



ORS18; adaptierte CIELAB-Daten

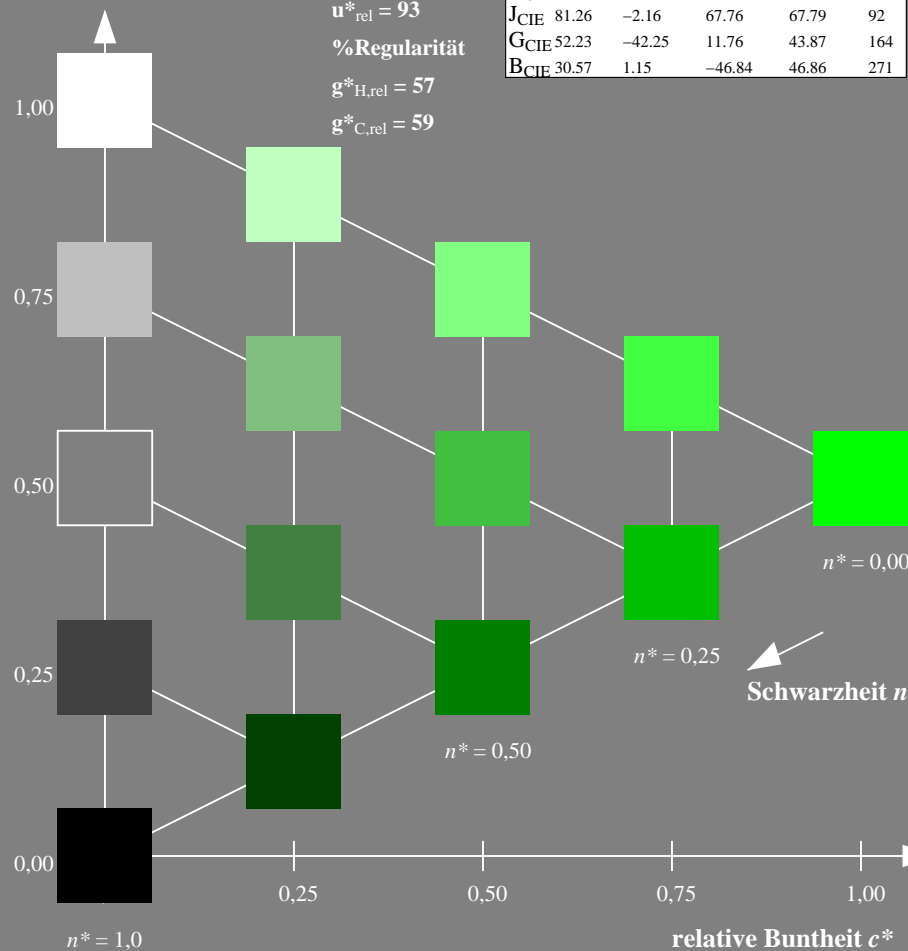
	$L^*=L^*_a$	a^*_a	b^*_a	$C^*_{ab,a}$	$h^*_{ab,a}$
O _m	47.94	65.39	50.52	82.63	38
Y _m	90.37	-10.26	91.75	92.32	96
L _m	50.9	-62.83	34.96	71.91	151
C _m	58.62	-30.34	-45.01	54.3	236
V _m	25.72	31.1	-44.4	54.22	305
M _m	48.13	75.28	-8.36	75.74	354
N _m	18.01	0.0	0.0	0.0	0
W _m	95.41	0.0	0.0	0.0	0
R _{CIE}	39.92	58.66	26.98	64.57	25
J _{CIE}	81.26	-2.16	67.76	67.79	92
G _{CIE}	52.23	-42.25	11.76	43.87	164
B _{CIE}	30.57	1.15	-46.84	46.86	271

Dreiecks-Helligkeit t^*

%Umfang

 $u^*_{rel} = 93$

%Regularität

 $g^*_{H,rel} = 57$ $g^*_{C,rel} = 59$ 

NG220-7, 5 stufige Reihen für konstanten CIELAB Buntton 151/360 = 0.419 (links)

BAM-Prüfvorlage NG22; Farbmétrik-Systeme ORS18 & ORS18input: olv* setrgbcolor

D65: Koordinatensysteme; 5stufige Farbreihen für 10 Bunttöne output: Startup (S) data dependend

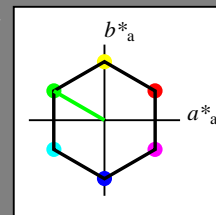
Ausgabe: Farbmétrisches Standard-Reflektiv-System SRS18

für Buntton $h^* = lab^*h = 150/360 = 0.417$ LAB^*LCH , LAB^*NCH

D65: Buntton L

LCH*Ma: 57 77 150

olv*Ma: 0.0 1.0 0.0



SRS18; adaptierte CIELAB-Daten

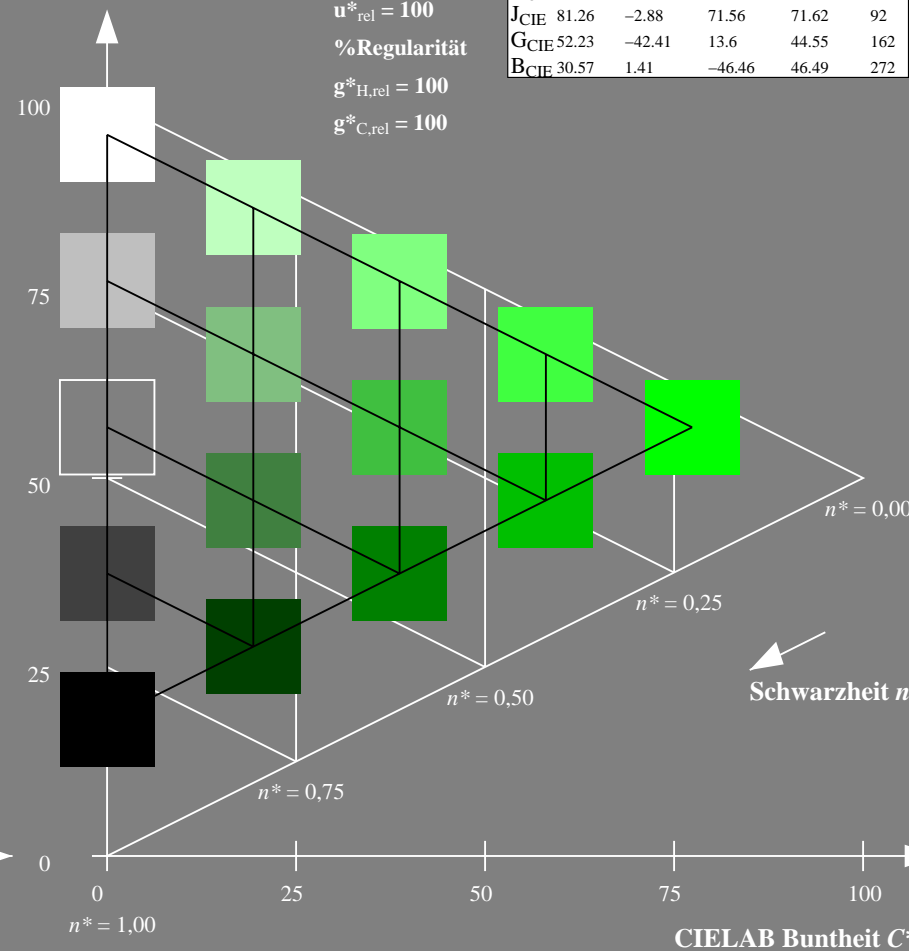
	$L^*=L^*_a$	a^*_a	b^*_a	$C^*_{ab,a}$	$h^*_{ab,a}$
O _m	56.71	67.03	38.7	77.4	30
Y _m	56.71	0.0	77.4	77.4	90
L _m	56.71	-67.02	38.7	77.4	150
C _m	56.71	-67.02	-38.69	77.4	210
V _m	56.71	0.0	-77.39	77.4	270
M _m	56.71	67.03	-38.69	77.4	330
N _m	18.01	0.0	0.0	0.0	0
W _m	95.41	0.0	0.0	0.0	0
R _{CIE}	39.92	58.74	27.99	65.07	25
J _{CIE}	81.26	-2.88	71.56	71.62	92
G _{CIE}	52.23	-42.41	13.6	44.55	162
B _{CIE}	30.57	1.41	-46.46	46.49	272

CIELAB-Helligkeit L^*

%Umfang

 $u^*_{rel} = 100$

%Regularität

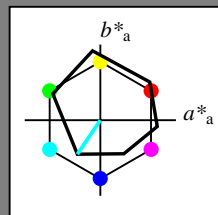
 $g^*_{H,rel} = 100$ $g^*_{C,rel} = 100$ 

5 stufige Reihen für konstanten CIELAB Buntton 150/360 = 0.417 (rechts)

Eingabe: Farbmétrisches Offset-Reflektiv-System ORS18

für Buntton $h^* = lab \cdot h = 236/360 = 0.656$
 $lab \cdot tch$ und $lab \cdot nch$

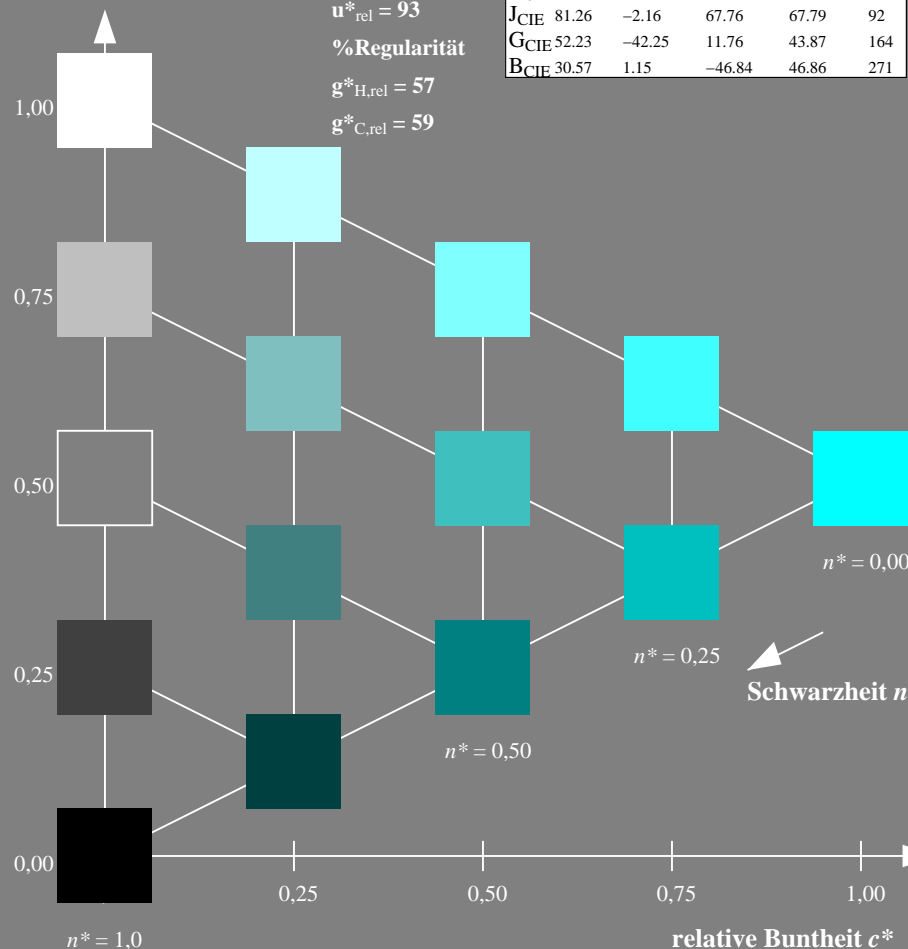
D65: Buntton C
LCH*Ma: 59 54 236
olv*Ma: 0.0 1.0 1.0



ORS18; adaptierte CIELAB-Daten					
	$L^*=L^*_a$	a^*_a	b^*_a	$C^*_{ab,a}$	$h^*_{ab,a}$
O _m	47.94	65.39	50.52	82.63	38
Y _m	90.37	-10.26	91.75	92.32	96
L _m	50.9	-62.83	34.96	71.91	151
C _m	58.62	-30.34	-45.01	54.3	236
V _m	25.72	31.1	-44.4	54.22	305
M _m	48.13	75.28	-8.36	75.74	354
N _m	18.01	0.0	0.0	0.0	0
W _m	95.41	0.0	0.0	0.0	0
R _{CIE}	39.92	58.66	26.98	64.57	25
J _{CIE}	81.26	-2.16	67.76	67.79	92
G _{CIE}	52.23	-42.25	11.76	43.87	164
B _{CIE}	30.57	1.15	-46.84	46.86	271

Dreiecks-Helligkeit t^*

%Umfang
 $u^*_{rel} = 93$
%Regularität
 $g^*_{H,rel} = 57$
 $g^*_{C,rel} = 59$

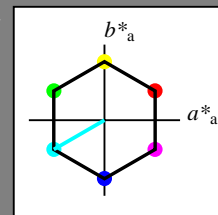


NG220-7, 5 stufige Reihen für konstanten CIELAB Buntton 236/360 = 0.656 (links)

Ausgabe: Farbmétrisches Standard-Reflektiv-System SRS18

für Buntton $h^* = lab \cdot h = 210/360 = 0.583$
 $LAB \cdot LCH$, $LAB \cdot NCH$

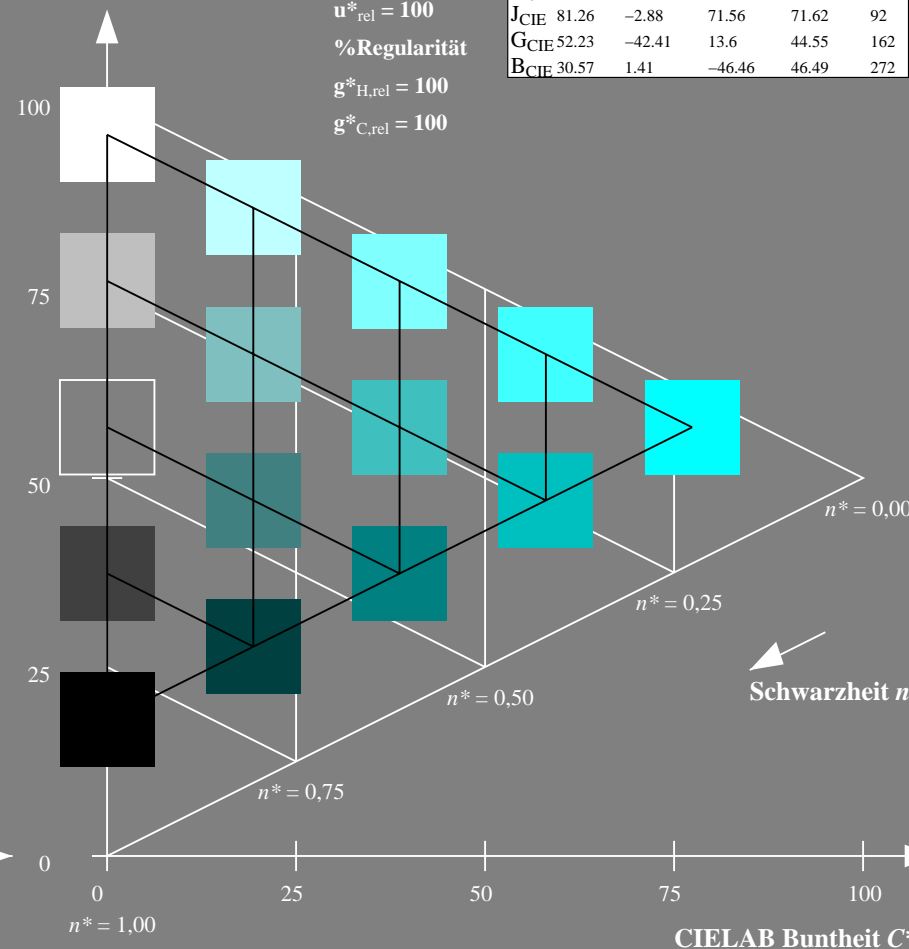
D65: Buntton C
LCH*Ma: 57 77 210
olv*Ma: 0.0 1.0 1.0



SRS18; adaptierte CIELAB-Daten					
	$L^*=L^*_a$	a^*_a	b^*_a	$C^*_{ab,a}$	$h^*_{ab,a}$
O _m	56.71	67.03	38.7	77.4	30
Y _m	56.71	0.0	77.4	77.4	90
L _m	56.71	-67.02	38.7	77.4	150
C _m	56.71	-67.02	-38.69	77.4	210
V _m	56.71	0.0	-77.39	77.4	270
M _m	56.71	67.03	-38.69	77.4	330
N _m	18.01	0.0	0.0	0.0	0
W _m	95.41	0.0	0.0	0.0	0
R _{CIE}	39.92	58.74	27.99	65.07	25
J _{CIE}	81.26	-2.88	71.56	71.62	92
G _{CIE}	52.23	-42.41	13.6	44.55	162
B _{CIE}	30.57	1.41	-46.46	46.49	272

CIELAB-Helligkeit L^*

%Umfang
 $u^*_{rel} = 100$
%Regularität
 $g^*_{H,rel} = 100$
 $g^*_{C,rel} = 100$



5 stufige Reihen für konstanten CIELAB Buntton 210/360 = 0.583 (rechts)

BAM-Prüfvorlage NG22; Farbmétrik-Systeme ORS18 & ORS18input: olv* setrgbcolor

D65: Koordinatensysteme; 5stufige Farbreihen für 10 Bunttöne output: Startup (S) data dependend

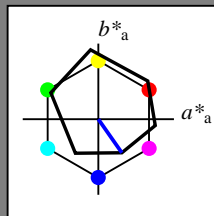
Eingabe: Farbmétrisches Offset-Reflektiv-System ORS18

für Buntton $h^* = lab^*h = 305/360 = 0.847$ lab^*tch und lab^*nch

D65: Buntton V

LCH*Ma: 26 54 305

olv*Ma: 0.0 0.0 1.0



ORS18; adaptierte CIELAB-Daten

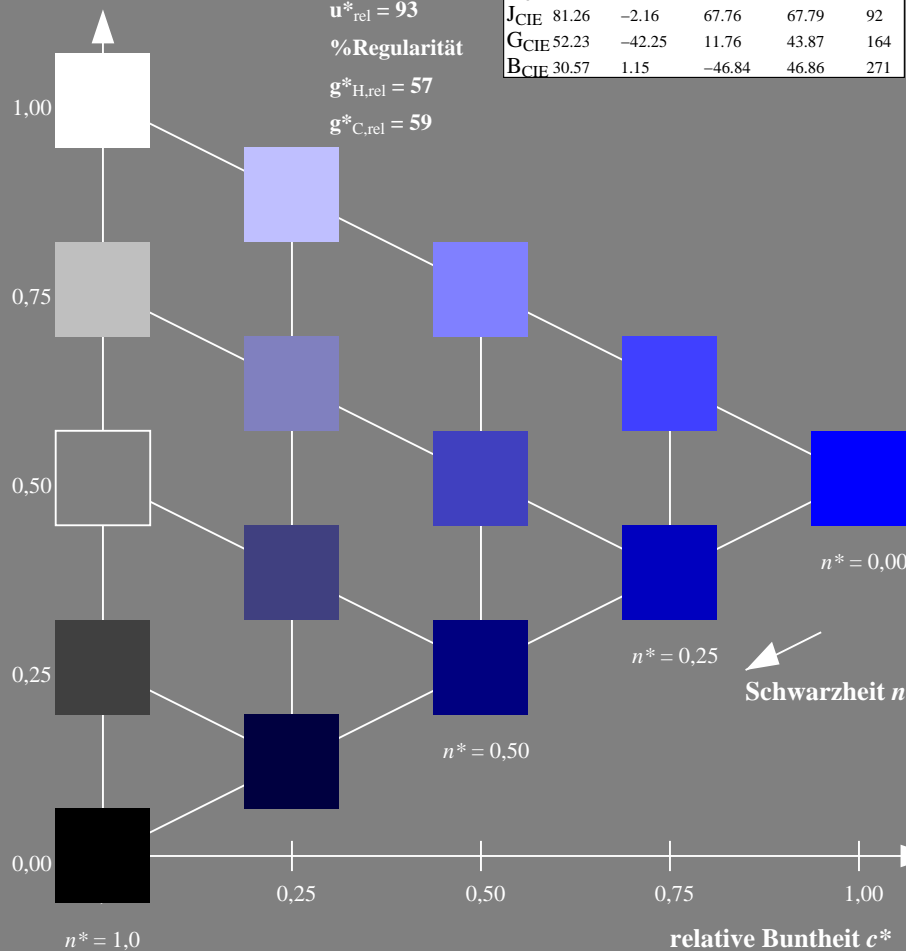
	$L^*=L^*_a$	a^*_a	b^*_a	$C^*_{ab,a}$	$h^*_{ab,a}$
O _m	47.94	65.39	50.52	82.63	38
Y _m	90.37	-10.26	91.75	92.32	96
L _m	50.9	-62.83	34.96	71.91	151
C _m	58.62	-30.34	-45.01	54.3	236
V _m	25.72	31.1	-44.4	54.22	305
M _m	48.13	75.28	-8.36	75.74	354
N _m	18.01	0.0	0.0	0.0	0
W _m	95.41	0.0	0.0	0.0	0
R _{CIE}	39.92	58.66	26.98	64.57	25
J _{CIE}	81.26	-2.16	67.76	67.79	92
G _{CIE}	52.23	-42.25	11.76	43.87	164
B _{CIE}	30.57	1.15	-46.84	46.86	271

Dreiecks-Helligkeit t^*

%Umfang

 $u^*_{rel} = 93$

%Regularität

 $g^*_{H,rel} = 57$ $g^*_{C,rel} = 59$ 

NG220-7, 5 stufige Reihen für konstanten CIELAB Buntton 305/360 = 0.847 (links)

BAM-Prüfvorlage NG22; Farbmétrik-Systeme ORS18 & ORS18input: olv* setrgbcolor

D65: Koordinatensysteme; 5stufige Farbreihen für 10 Bunttöne output: Startup (S) data dependend

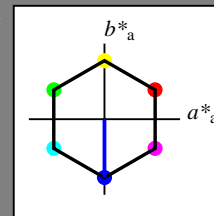
Ausgabe: Farbmétrisches Standard-Reflektiv-System SRS18

für Buntton $h^* = lab^*h = 270/360 = 0.75$ LAB^*LCH, LAB^*NCH

D65: Buntton V

LCH*Ma: 57 77 270

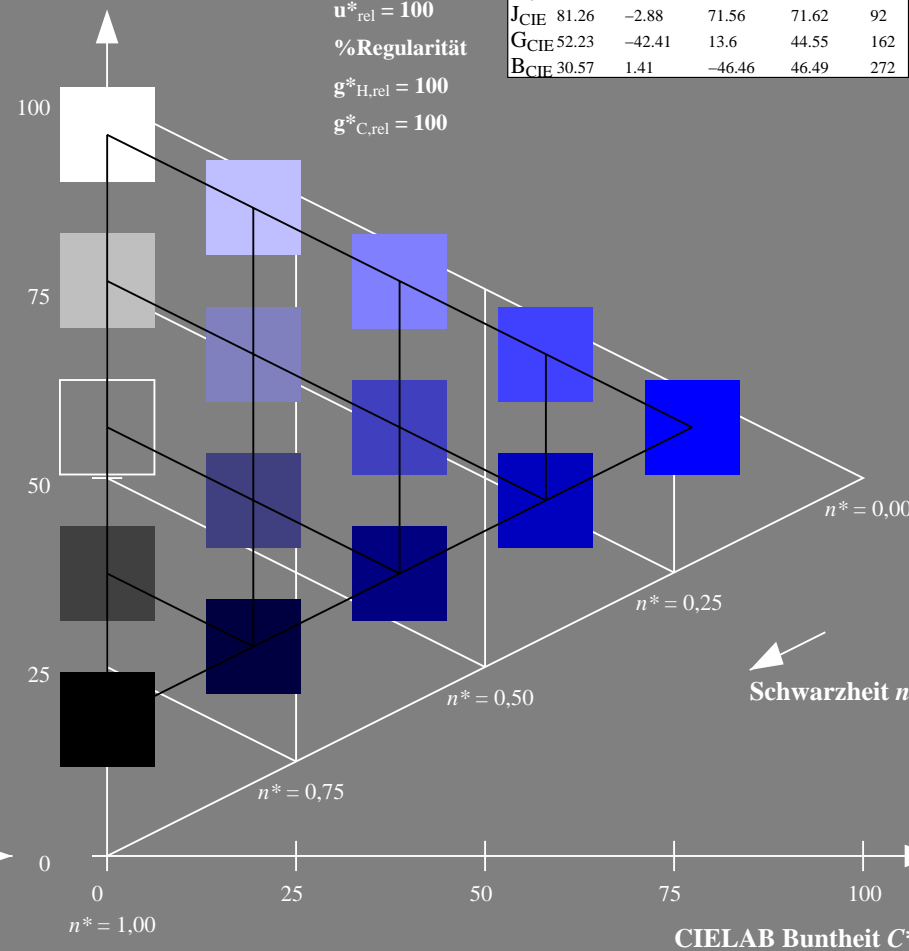
olv*Ma: 0.0 0.0 1.0

CIELAB-Helligkeit L^*

%Umfang

 $u^*_{rel} = 100$

%Regularität

 $g^*_{H,rel} = 100$ $g^*_{C,rel} = 100$ 

5 stufige Reihen für konstanten CIELAB Buntton 270/360 = 0.75 (rechts)

Eingabe: Farbmétrisches Offset-Reflektiv-System ORS18

für Buntton $h^* = lab^*h = 354/360 = 0.982$ lab^*tch und lab^*nch

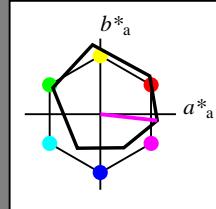
D65: Buntton M

LCH*Ma: 48 76 354

olv*Ma: 1.0 0.0 1.0

ORS18; adaptierte CIELAB-Daten

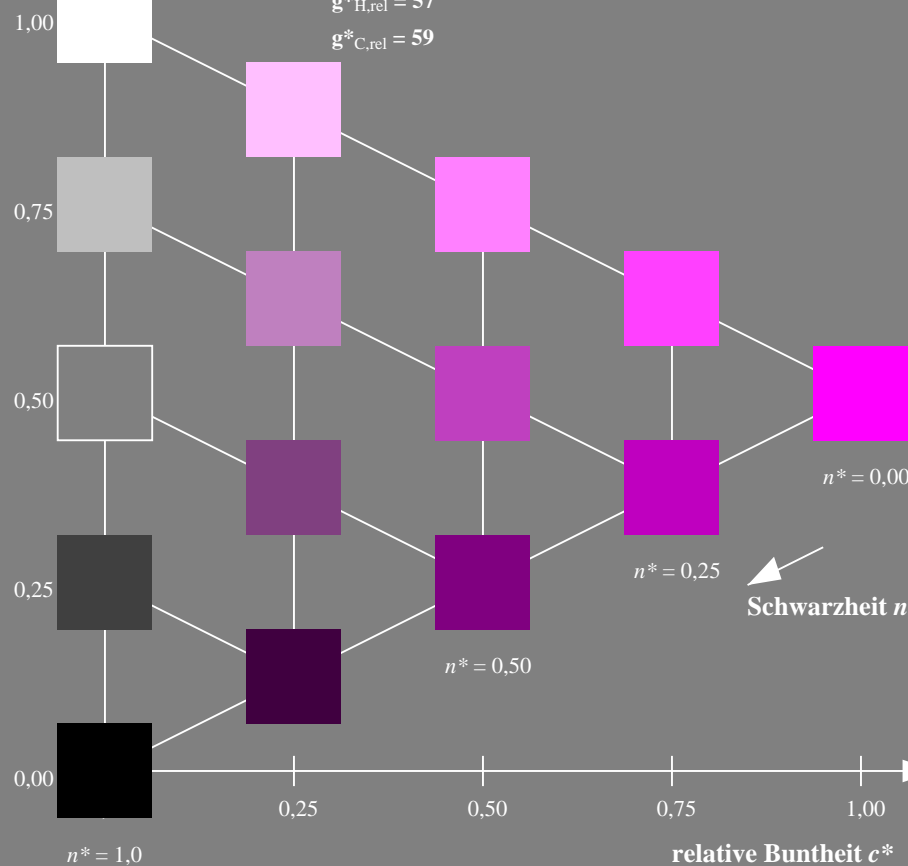
	$L^*=L^*_a$	a^*_a	b^*_a	$C^*_{ab,a}$	$h^*_{ab,a}$
O _m	47.94	65.39	50.52	82.63	38
Y _m	90.37	-10.26	91.75	92.32	96
L _m	50.9	-62.83	34.96	71.91	151
C _m	58.62	-30.34	-45.01	54.3	236
V _m	25.72	31.1	-44.4	54.22	305
M _m	48.13	75.28	-8.36	75.74	354
N _m	18.01	0.0	0.0	0.0	0
W _m	95.41	0.0	0.0	0.0	0
R _{CIE}	39.92	58.66	26.98	64.57	25
J _{CIE}	81.26	-2.16	67.76	67.79	92
G _{CIE}	52.23	-42.25	11.76	43.87	164
B _{CIE}	30.57	1.15	-46.84	46.86	271

Dreiecks-Helligkeit t^*

%Umfang

 $u^*_{rel} = 93$

%Regularität

 $g^*_{H,rel} = 57$ $g^*_{C,rel} = 59$ 

NG220-7, 5 stufige Reihen für konstanten CIELAB Buntton 354/360 = 0.982 (links)

Ausgabe: Farbmétrisches Standard-Reflektiv-System SRS18

für Buntton $h^* = lab^*h = 330/360 = 0.917$ LAB^*LCH, LAB^*NCH

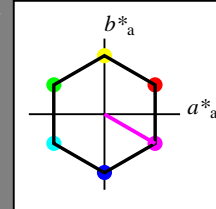
D65: Buntton M

LCH*Ma: 57 77 330

olv*Ma: 1.0 0.0 1.0

SRS18; adaptierte CIELAB-Daten

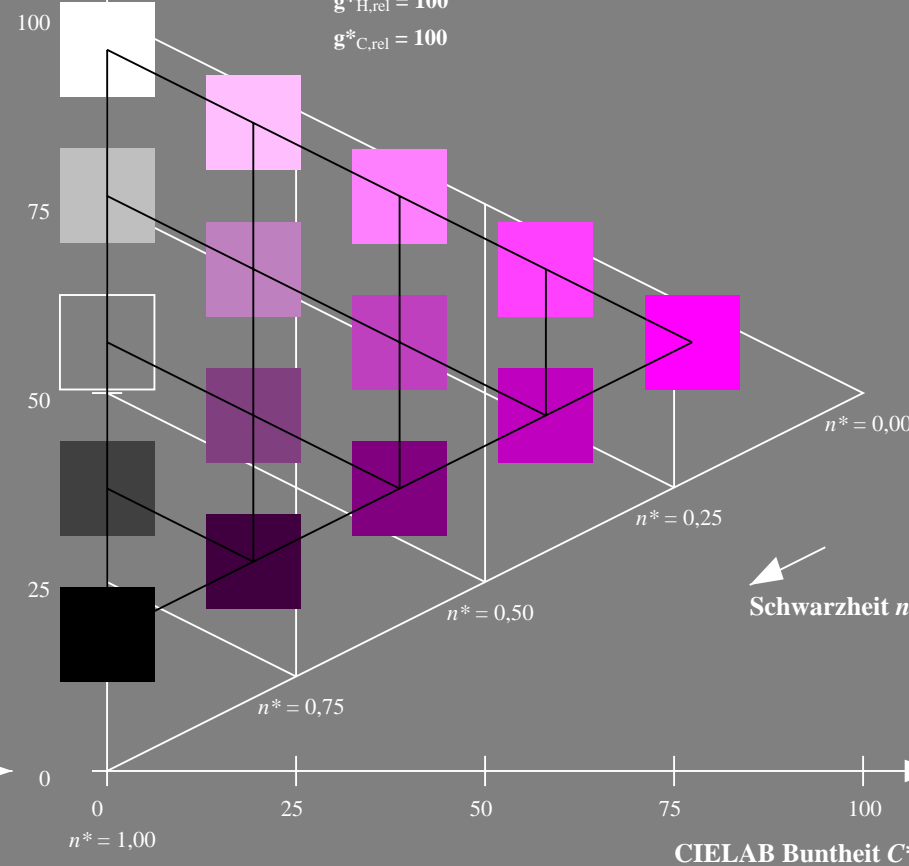
	$L^*=L^*_a$	a^*_a	b^*_a	$C^*_{ab,a}$	$h^*_{ab,a}$
O _m	56.71	67.03	38.7	77.4	30
Y _m	56.71	0.0	77.4	77.4	90
L _m	56.71	-67.02	38.7	77.4	150
C _m	56.71	-67.02	-38.69	77.4	210
V _m	56.71	0.0	-77.39	77.4	270
M _m	56.71	67.03	-38.69	77.4	330
N _m	18.01	0.0	0.0	0.0	0
W _m	95.41	0.0	0.0	0.0	0
R _{CIE}	39.92	58.74	27.99	65.07	25
J _{CIE}	81.26	-2.88	71.56	71.62	92
G _{CIE}	52.23	-42.41	13.6	44.55	162
B _{CIE}	30.57	1.41	-46.46	46.49	272

CIELAB-Helligkeit L^*

%Umfang

 $u^*_{rel} = 100$

%Regularität

 $g^*_{H,rel} = 100$ $g^*_{C,rel} = 100$ 

5 stufige Reihen für konstanten CIELAB Buntton 330/360 = 0.917 (rechts)

BAM-Prüfvorlage NG22; Farbmétrik-Systeme ORS18 & ORS18input: olv* setrgbcolor

D65: Koordinatensysteme; 5stufige Farbreihen für 10 Bunttöne output: Startup (S) data dependend

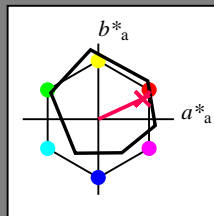
Eingabe: Farbmétrisches Offset-Reflektiv-System ORS18

für Buntton $h^* = lab^*h = 25/360 = 0.069$ lab^*tch und lab^*nch

D65: Buntton R

LCH*Ma: 48 75 25

olv*Ma: 1.0 0.0 0.32



ORS18; adaptierte CIELAB-Daten

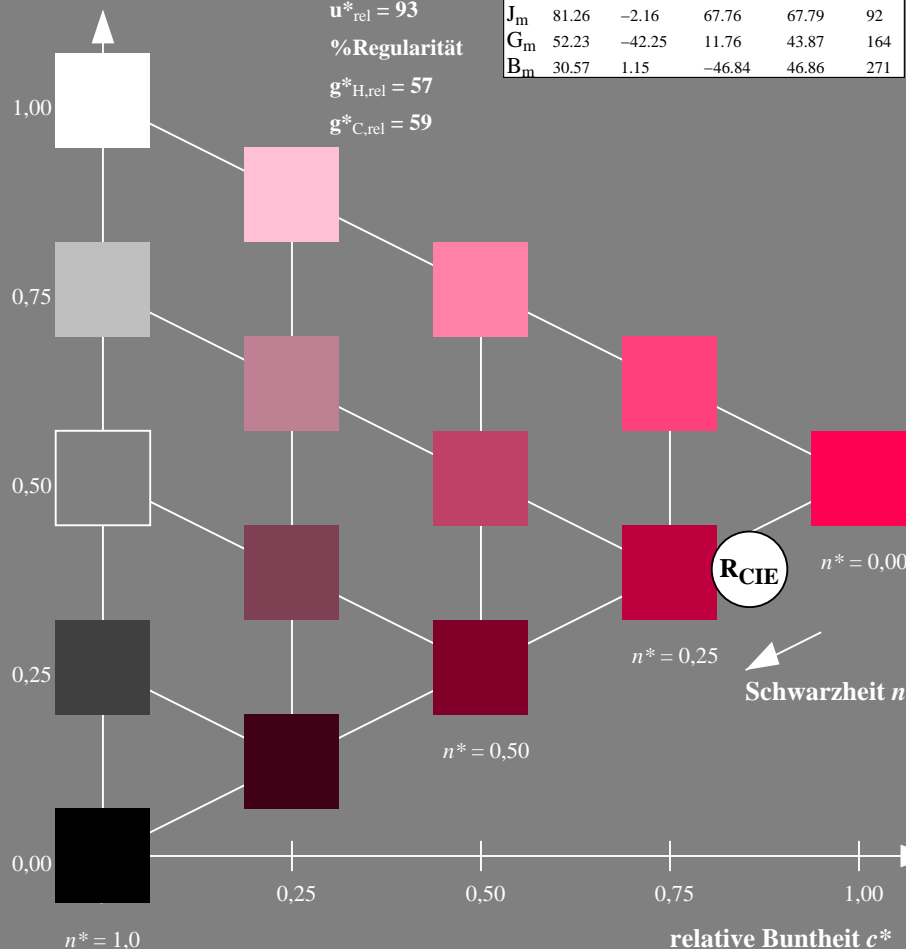
	$L^*=L^*_a$	a^*_a	b^*_a	$C^*_{ab,a}$	$h^*_{ab,a}$
O _m	47.94	65.39	50.52	82.63	38
Y _m	90.37	-10.26	91.75	92.32	96
L _m	50.9	-62.83	34.96	71.91	151
C _m	58.62	-30.34	-45.01	54.3	236
V _m	25.72	31.1	-44.4	54.22	305
M _m	48.13	75.28	-8.36	75.74	354
N _m	18.01	0.0	0.0	0.0	0
W _m	95.41	0.0	0.0	0.0	0
R _m	39.92	58.66	26.98	64.57	25
J _m	81.26	-2.16	67.76	67.79	92
G _m	52.23	-42.25	11.76	43.87	164
B _m	30.57	1.15	-46.84	46.86	271

Dreiecks-Helligkeit t^*

%Umfang

 $u^*_{rel} = 93$

%Regularität

 $g^*_{H,rel} = 57$ $g^*_{C,rel} = 59$ 

NG220-7, 5 stufige Reihen für konstanten CIELAB Buntton 25/360 = 0.069 (links)

BAM-Prüfvorlage NG22; Farbmétrik-Systeme ORS18 & ORS18input: olv* setrgbcolor

D65: Koordinatensysteme; 5stufige Farbreihen für 10 Bunttöne output: Startup (S) data dependend

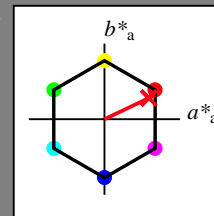
Ausgabe: Farbmétrisches Standard-Reflektiv-System SRS18

für Buntton $h^* = lab^*h = 25/360 = 0.071$ LAB^*LCH , LAB^*NCH

D65: Buntton R

LCH*Ma: 57 74 25

olv*Ma: 1.0 0.0 0.09



SRS18; adaptierte CIELAB-Daten

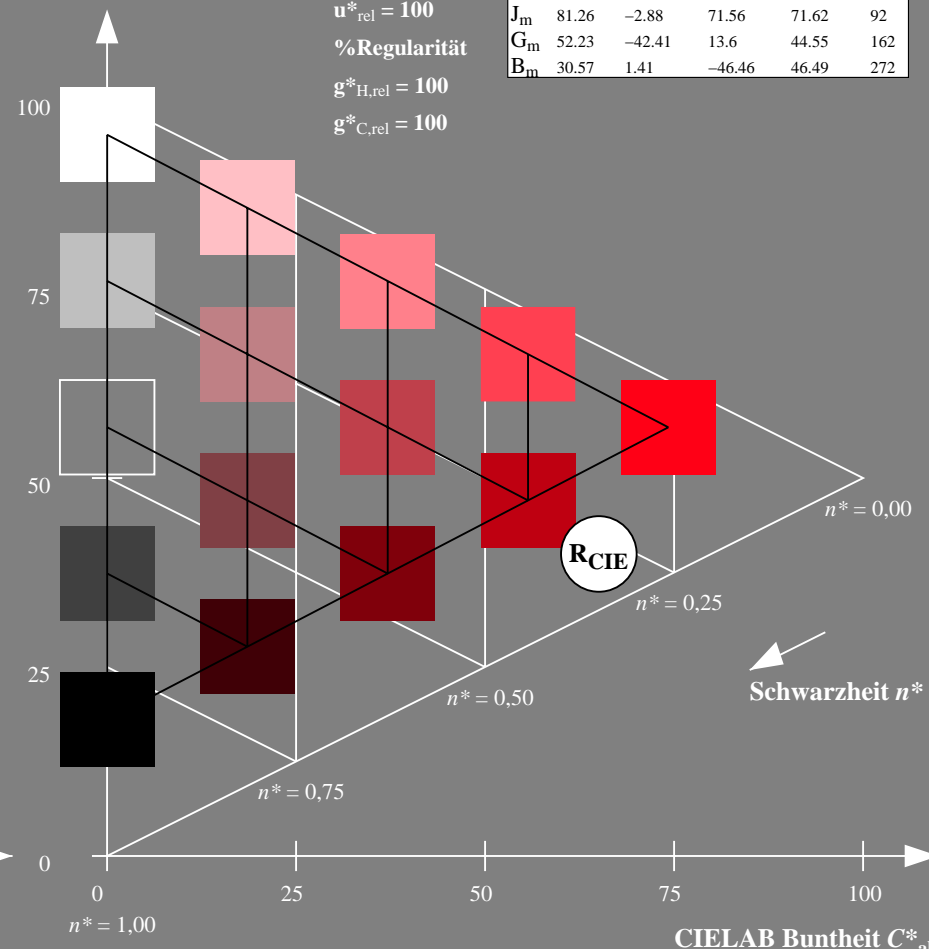
	$L^*=L^*_a$	a^*_a	b^*_a	$C^*_{ab,a}$	$h^*_{ab,a}$
O _m	56.71	67.03	38.7	77.4	30
Y _m	56.71	0.0	77.4	77.4	90
L _m	56.71	-67.02	38.7	77.4	150
C _m	56.71	-67.02	-38.69	77.4	210
V _m	56.71	0.0	-77.39	77.4	270
M _m	56.71	67.03	-38.69	77.4	330
N _m	18.01	0.0	0.0	0.0	0
W _m	95.41	0.0	0.0	0.0	0
R _m	39.92	58.74	27.99	65.07	25
J _m	81.26	-2.88	71.56	71.62	92
G _m	52.23	-42.41	13.6	44.55	162
B _m	30.57	1.41	-46.46	46.49	272

CIELAB-Helligkeit L^*

%Umfang

 $u^*_{rel} = 100$

%Regularität

 $g^*_{H,rel} = 100$ $g^*_{C,rel} = 100$ 

5 stufige Reihen für konstanten CIELAB Buntton 25/360 = 0.071 (rechts)

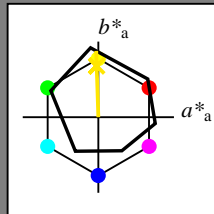
Eingabe: Farbmétrisches Offset-Reflektiv-System ORS18

für Buntton $h^* = lab \cdot h = 92/360 = 0.255$ $lab \cdot tch$ und $lab \cdot nch$

D65: Buntton J

LCH*Ma: 86 88 92

olv*Ma: 1.0 0.9 0.0



ORS18; adaptierte CIELAB-Daten

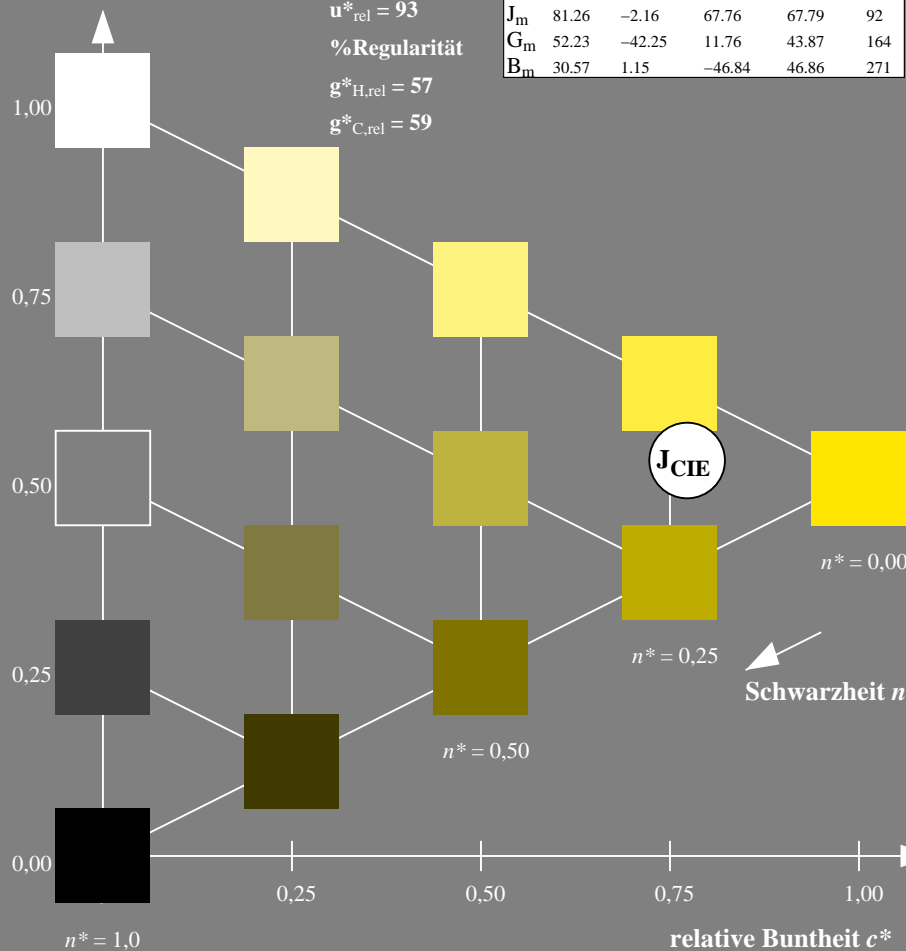
	$L^*=L^*_a$	a^*_a	b^*_a	$C^*_{ab,a}$	$h^*_{ab,a}$
O _m	47.94	65.39	50.52	82.63	38
Y _m	90.37	-10.26	91.75	92.32	96
L _m	50.9	-62.83	34.96	71.91	151
C _m	58.62	-30.34	-45.01	54.3	236
V _m	25.72	31.1	-44.4	54.22	305
M _m	48.13	75.28	-8.36	75.74	354
N _m	18.01	0.0	0.0	0.0	0
W _m	95.41	0.0	0.0	0.0	0
R _m	39.92	58.66	26.98	64.57	25
J _m	81.26	-2.16	67.76	67.79	92
G _m	52.23	-42.25	11.76	43.87	164
B _m	30.57	1.15	-46.84	46.86	271

Dreiecks-Helligkeit t^*

%Umfang

 $u^*_{rel} = 93$

%Regularität

 $g^*_{H,rel} = 57$ $g^*_{C,rel} = 59$ 

NG220-7, 5 stufige Reihen für konstanten CIELAB Buntton 92/360 = 0.255 (links)

BAM-Prüfvorlage NG22; Farbmétrik-Systeme ORS18 & ORS18input: olv* setrgbcolor

D65: Koordinatensysteme; 5stufige Farbreihen für 10 Bunttöne output: Startup (S) data dependend

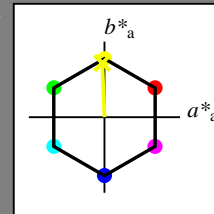
Ausgabe: Farbmétrisches Standard-Reflektiv-System SRS18

für Buntton $h^* = lab \cdot h = 92/360 = 0.256$ $LAB \cdot LCH$, $LAB \cdot NCH$

D65: Buntton J

LCH*Ma: 57 76 92

olv*Ma: 0.95 1.0 0.0



SRS18; adaptierte CIELAB-Daten

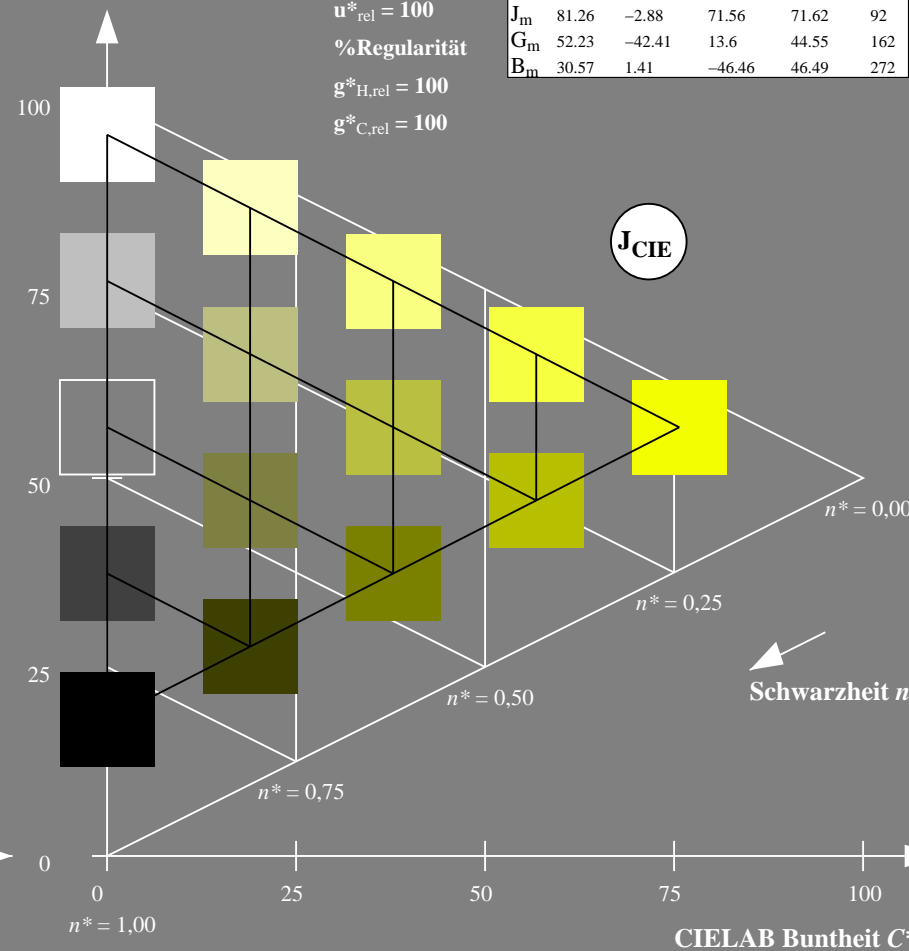
	$L^*=L^*_a$	a^*_a	b^*_a	$C^*_{ab,a}$	$h^*_{ab,a}$
O _m	56.71	67.03	38.7	77.4	30
Y _m	56.71	0.0	77.4	77.4	90
L _m	56.71	-67.02	38.7	77.4	150
C _m	56.71	-67.02	-38.69	77.4	210
V _m	56.71	0.0	-77.39	77.4	270
M _m	56.71	67.03	-38.69	77.4	330
N _m	18.01	0.0	0.0	0.0	0
W _m	95.41	0.0	0.0	0.0	0
R _m	39.92	58.74	27.99	65.07	25
J _m	81.26	-2.88	71.56	71.62	92
G _m	52.23	-42.41	13.6	44.55	162
B _m	30.57	1.41	-46.46	46.49	272

CIELAB-Helligkeit L^*

%Umfang

 $u^*_{rel} = 100$

%Regularität

 $g^*_{H,rel} = 100$ $g^*_{C,rel} = 100$ 

5 stufige Reihen für konstanten CIELAB Buntton 92/360 = 0.256 (rechts)

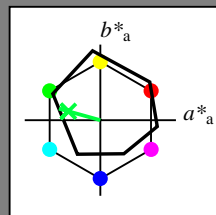
Eingabe: Farbmétrisches Offset-Reflektiv-System ORS18

für Buntton $h^* = lab^*h = 164/360 = 0.457$ lab^*tch und lab^*nch

D65: Buntton G

LCH*Ma: 53 57 164

olv*Ma: 0.0 1.0 0.25



ORS18; adaptierte CIELAB-Daten

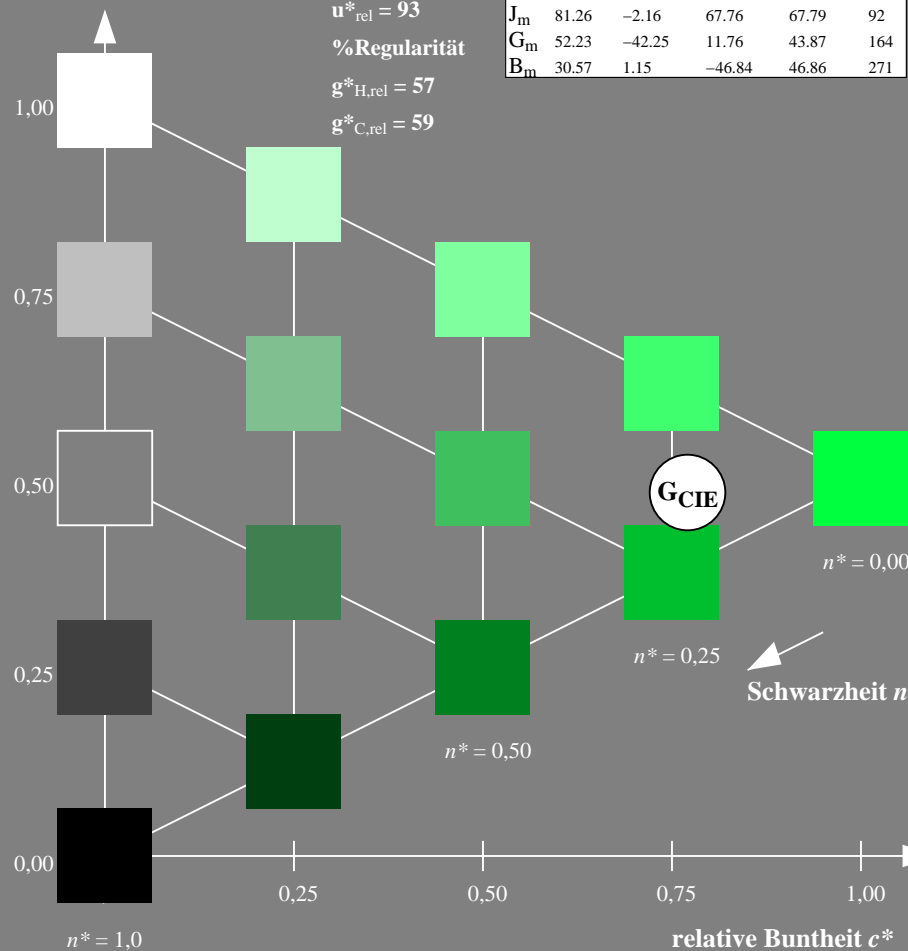
	$L^*=L^*_a$	a^*_a	b^*_a	$C^*_{ab,a}$	$h^*_{ab,a}$
O _m	47.94	65.39	50.52	82.63	38
Y _m	90.37	-10.26	91.75	92.32	96
L _m	50.9	-62.83	34.96	71.91	151
C _m	58.62	-30.34	-45.01	54.3	236
V _m	25.72	31.1	-44.4	54.22	305
M _m	48.13	75.28	-8.36	75.74	354
N _m	18.01	0.0	0.0	0.0	0
W _m	95.41	0.0	0.0	0.0	0
R _m	39.92	58.66	26.98	64.57	25
J _m	81.26	-2.16	67.76	67.79	92
G _m	52.23	-42.25	11.76	43.87	164
B _m	30.57	1.15	-46.84	46.86	271

Dreiecks-Helligkeit t^*

%Umfang

 $u^*_{rel} = 93$

%Regularität

 $g^*_{H,rel} = 57$ $g^*_{C,rel} = 59$ 

NG220-7, 5 stufige Reihen für konstanten CIELAB Bunton 164/360 = 0.457 (links)

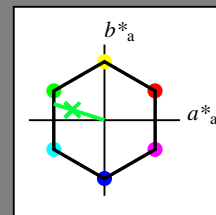
Ausgabe: Farbmétrisches Standard-Reflektiv-System SRS18

für Buntton $h^* = lab^*h = 162/360 = 0.451$ LAB^*LCH, LAB^*NCH

D65: Buntton G

LCH*Ma: 57 70 162

olv*Ma: 0.0 1.0 0.22



SRS18; adaptierte CIELAB-Daten

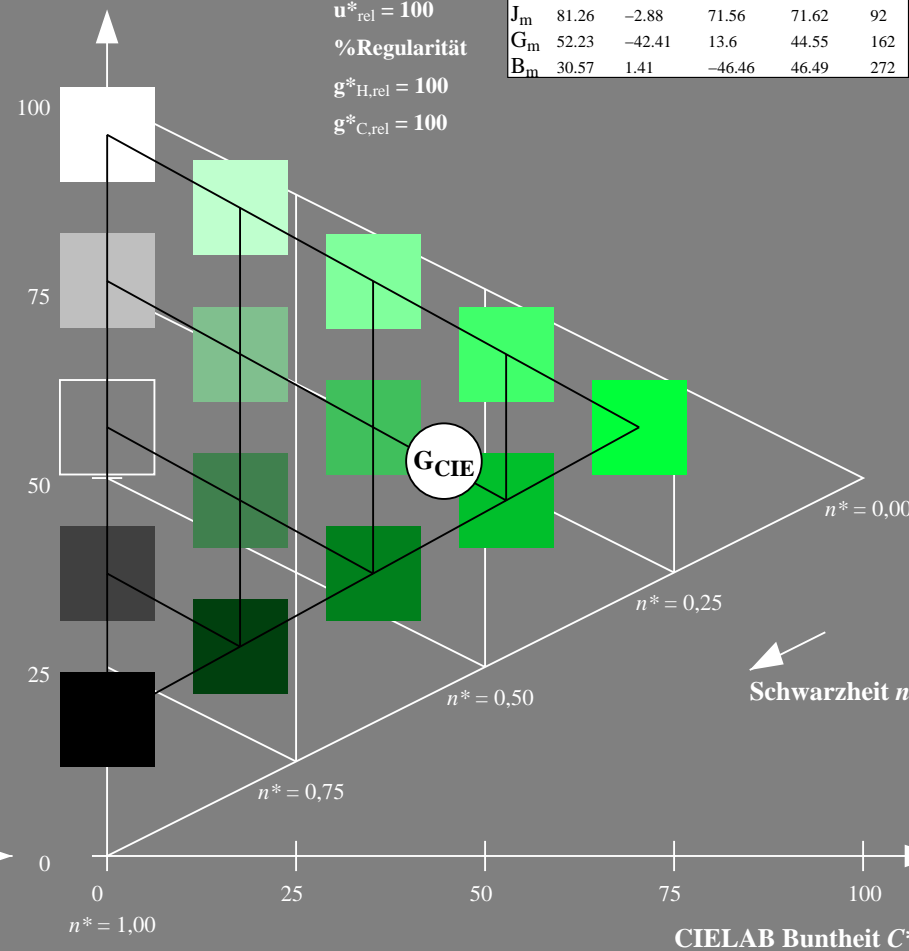
	$L^*=L^*_a$	a^*_a	b^*_a	$C^*_{ab,a}$	$h^*_{ab,a}$
O _m	56.71	67.03	38.7	77.4	30
Y _m	56.71	0.0	77.4	77.4	90
L _m	56.71	-67.02	38.7	77.4	150
C _m	56.71	-67.02	-38.69	77.4	210
V _m	56.71	0.0	-77.39	77.4	270
M _m	56.71	67.03	-38.69	77.4	330
N _m	18.01	0.0	0.0	0.0	0
W _m	95.41	0.0	0.0	0.0	0
R _m	39.92	58.74	27.99	65.07	25
J _m	81.26	-2.88	71.56	71.62	92
G _m	52.23	-42.41	13.6	44.55	162
B _m	30.57	1.41	-46.46	46.49	272

CIELAB-Helligkeit L^*

%Umfang

 $u^*_{rel} = 100$

%Regularität

 $g^*_{H,rel} = 100$ $g^*_{C,rel} = 100$ 

5 stufige Reihen für konstanten CIELAB Bunton 162/360 = 0.451 (rechts)

BAM-Prüfvorlage NG22; Farbmétrik-Systeme ORS18 & ORS18input: olv* setrgbcolor

D65: Koordinatensysteme; 5stufige Farbreihen für 10 Bunttöne output: Startup (S) data dependend

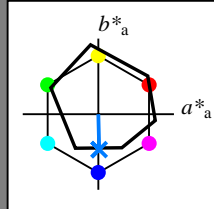
Eingabe: Farbmétrisches Offset-Reflektiv-System ORS18

für Buntton $h^* = lab^*h = 271/360 = 0.754$ lab^*tch und lab^*nch

D65: Buntton B

LCH*Ma: 42 45 271

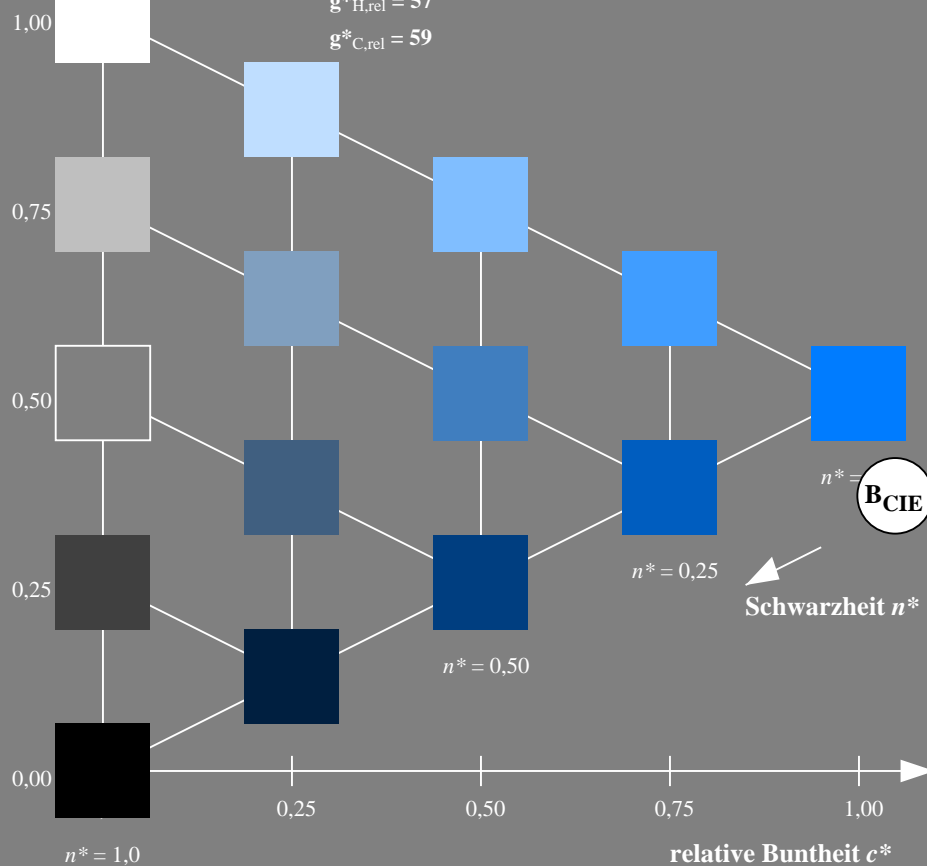
olv*Ma: 0.0 0.49 1.0

Dreiecks-Helligkeit t^*

%Umfang

 $u^*_{rel} = 93$

%Regularität

 $g^*_{H,rel} = 57$ $g^*_{C,rel} = 59$ NG220-7, 5 stufige Reihen für konstanten CIELAB Buntton $271/360 = 0.754$ (links)

BAM-Prüfvorlage NG22; Farbmétrik-Systeme ORS18 & ORS18input: olv* setrgbcolor

D65: Koordinatensysteme; 5stufige Farbreihen für 10 Bunttöne output: Startup (S) data dependend

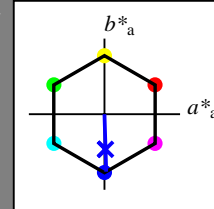
Ausgabe: Farbmétrisches Standard-Reflektiv-System SRS18

für Buntton $h^* = lab^*h = 272/360 = 0.755$ LAB^*LCH, LAB^*NCH

D65: Buntton B

LCH*Ma: 57 76 272

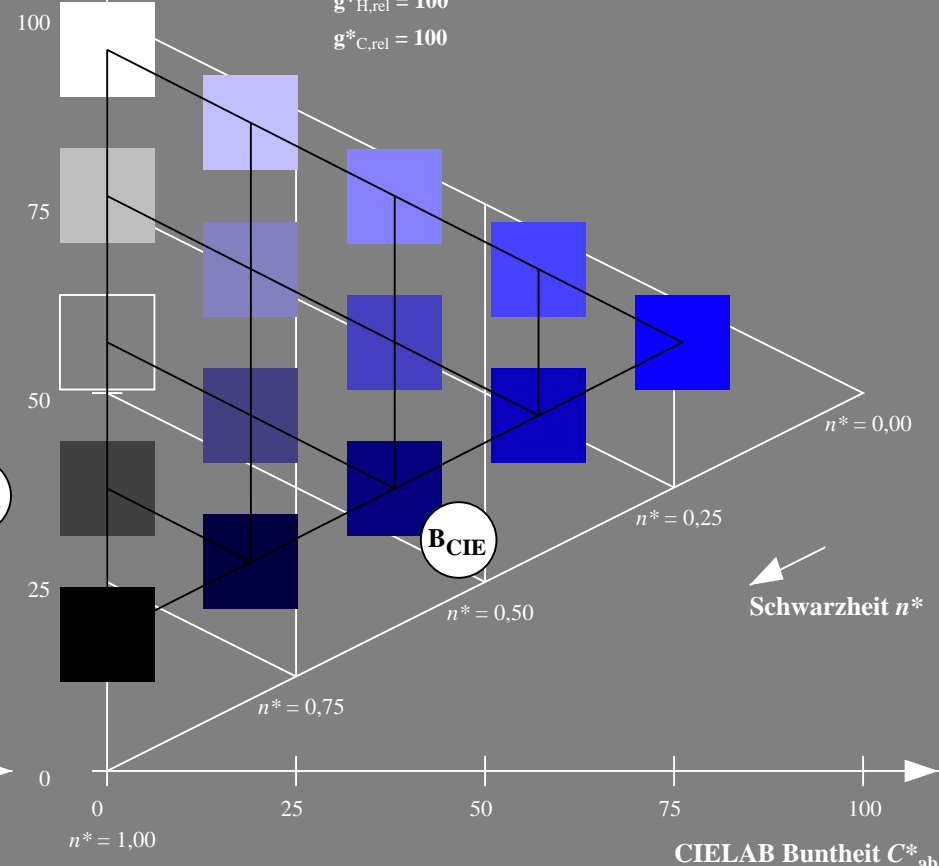
olv*Ma: 0.03 0.0 1.0

CIELAB-Helligkeit L^*

%Umfang

 $u^*_{rel} = 100$

%Regularität

 $g^*_{H,rel} = 100$ $g^*_{C,rel} = 100$ 5 stufige Reihen für konstanten CIELAB Buntton $272/360 = 0.755$ (rechts)